

УЧЕТ УГЛОВОГО РАСПРЕДЕЛЕНИЯ РАДИАЦИИ В ТЕОРИИ РАСПРОСТРАНЕНИЯ СЛАБЫХ ТЕРМИЧЕСКИХ ВОЛН

B. A. Прокофьев (Москва)

В статье установлены критерии существования в безграничной среде слабых плоских вынужденных волн, индуцированных радиацией.

На основании уравнений радиационной газовой динамики при произвольном (двупараметрическом) уравнении состояния газа вычислены и проанализированы параметры распространения волн (коэффициенты затухания и мера дисперсии скорости), во всем диапазоне определяющих движение безразмерных чисел (отношение удельных теплоемкостей, число Больцмана, число Буге). Учтены собственное термическое излучение, поглощение радиации газом и распределение интенсивности излучения по направлениям. Радиационные характеристики взяты в осредненном по частотам виде. В работе приведено также сравнение индуцированных радиацией волн с волнами давления. Показано отличие полученных результатов от результатов анализа с осреднением интенсивности радиации по направлениям

Обозначения

γ — отношение удельных теплоемкостей;	$(2\pi\eta)^{-1}$ — оптическая длина волны;
c_0 — адиабатическая скорость звука;	$2\alpha_{10}$ — коэффициент поглощения волн на длине звуковой волны той же частоты;
σ — заданная циклическая частота вынужденных колебаний;	α_τ — коэффициент поглощения волн на длине свободного пробега радиации;
ζ_1^{-1} — излучательная способность газа;	$2\alpha_1$ — коэффициент поглощения на длине волны (истинный коэффициент поглощения);
Z^{-1} — число Больцмана, отнесенное к скорости звука;	r — мера дисперсии скорости (отношение фазовой скорости волны к скорости звука).
$(2\pi\nu)^{-1}$ — число Буге (оптическая длина звуковой волны);	
ω — объемный коэффициент поглощения радиации;	

Распространение плоских вынужденных гармонических возмущений бесконечно малой амплитуды в идеальной сжимаемой покоящейся безграничной жидкости описывается с учетом притока тепла за счет термического излучения характеристическим уравнением: [1]

$$\begin{aligned} \frac{1}{2q} \ln \frac{1+q}{1-q} &= i + \gamma i \zeta_1 \frac{1+m^2}{1-m^2} \\ q = q_r + iq_i &= m\nu, \quad m = m_r + im_i = ac_0/\sigma \\ v = \sigma/c_0\omega, \quad Z = 16\sigma' T^3 / \rho c_v c_0, \quad \zeta_1 &= v/Z \end{aligned} \quad (0.1)$$

Здесь ρ , T — плотность и температура невозмущенного газа, c_v — удельная теплоемкость при постоянном объеме, σ' — постоянная Стефана — Больцмана. Искомой величиной будет комплексный показатель a функции $\exp(ax + i\sigma t)$, которой пропорциональны все газодинамические параметры, либо (что все равно) безразмерные величины m или q .

При выводе использовано осредненное по оптическим частотам уравнение переноса радиации с точным учетом углового распределения интенсивностей. В левой части (0.1) берется одна ветвь логарифмической функции с аргументом в интервале $(0 - \pi)$. Равенство (0.1) — четная функция от m , причем знаки действительной и мнимой частей каждого корня одинаковы: от начала координат в обе стороны движутся симметричные плоские затухающие волны.

При любых Z , v , γ существует пара корней $(\pm m^{(1)})$ характеристического уравнения, описывающая распространение волн давления (см. работу [1]).

При определенных условиях имеется еще вторая пара корней $(\pm m)$. Ей соответствуют термические радиационные волны, возбуждаемые в среде радиационным теплообменом. Иных случаев нет. В дальнейшем рассматриваются положительные действительные и мнимые части корней, что не ограничивает общности выводов.

Существование индуцированных радиацией волн, не имеющих аналогов в гидродинамике непоглощающего газа, установлено ранее [2-6]. Все параметры волн легко выражаются через действительную m_r и мнимую m_i части корней

$$\alpha_1 = m_r, \quad \alpha_\tau = q_r = m_r v, \quad \alpha_1 = m_r / m_i, \quad \eta = m_i v, \quad r = m_i^{-1}, \quad \alpha_a^{-1} = \sigma c_v^{-1} m_r \quad (0.2)$$

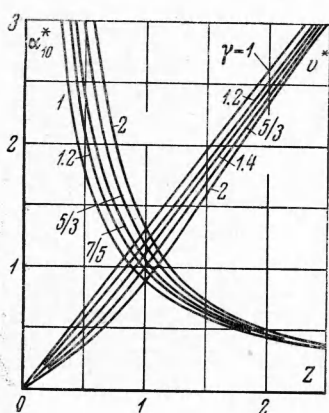
Здесь α_a^{-1} — коэффициенты затухания волн в расчете на единицу длины.

§ 1. Условия существования индуцированных радиаций волн. Из (0.1) следует, что для каждого значений γ и Z действительная и мнимая части второго корня -- монотонно убывающие функции v . При стремлении v к некоторому значению v^* мнимая часть корня стремится к нулю (скорость волн при этом стремится к бесконечности). Действительная часть корня отлична от нуля во всей области $v < v^*$. Для всех значений $v \geq v^*$ второй корень не существует.

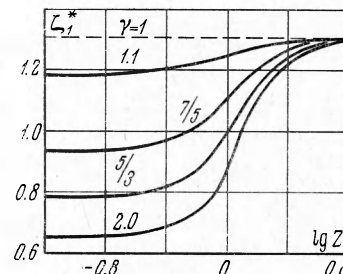
Предельные значения параметров (обозначены звездочками) определяются уравнением (0.1), если в нем m_i устремить к нулю

$$\alpha_{\tau}^* = \operatorname{ctg} \alpha_{\tau}^*, \quad \pi(\gamma v^{*2} + \alpha_{\tau}^{*2}) = 2\gamma \zeta_1 \alpha_{\tau}^* (v^{*2} + \alpha_{\tau}^{*2}) \quad (1.1)$$

Корень первого уравнения [7] $\alpha_{\tau}^* = 1.199678$ и соответствует обращению потока радиации в нуль. Второе уравнение накладывает ограничения на ζ_1 (или Z), v , γ . Отсюда для каждого γ и Z определится единственное положительное значение v^* или ζ_1^* (фиг. 1, 2).



Фиг. 1



Фиг. 2

В случае пьезотропной среды ($\gamma = 1$) не только α_{τ}^* , но и ζ_1^* будут универсальными постоянными. Из (1.1) имеем

$$v^* = \frac{1}{2}\pi Z / \alpha_{\tau}^* = 1.309348 Z, \quad \zeta_1^* = \frac{1}{2}\pi / \alpha_{\tau}^* = 1.309348, \\ \zeta^* = \zeta_1^{*-1} = 0.7637383, \quad \alpha_{10}^* = 0.916240 Z^{-1} \quad (1.2)$$

При любых γ и Z число ζ_1^* заключено в интервале
 $\pi(2\gamma\alpha_{\tau}^*)^{-1} \leq \zeta_1^* \leq \pi(2\alpha_{\tau}^*)^{-1}$

При $Z \ll 1$ ($s = \frac{1}{2}\pi Z \alpha_{\tau}^{*-2} = 1.091417 Z$)

$$\alpha_{10}^* = \gamma s^{-1} [1 - (\gamma - 1) \gamma^{-2} s^2 + (\gamma - 1)(2 - \gamma) \gamma^{-4} s^4 + \dots] \\ v^* = \alpha_{\tau}^* \gamma s^{-1} [1 + (\gamma - 1) \gamma^{-2} s^2 + (\gamma - 1)(2\gamma - 3) \gamma^{-4} s^4 + \dots] \quad (1.4)$$

При $Z \gg 1$ зависимость параметров от γ исчезает

$$\alpha_{10}^* = s^{-1} [1 + (\gamma - 1) \gamma^{-1} s^{-2} + (\gamma - 1)(2\gamma - 3) \gamma^{-2} s^{-4} + \dots] \\ v^* = \alpha_{\tau}^* s [1 - (\gamma - 1) \gamma^{-1} s^{-2} + (\gamma - 1)(2 - \gamma) \gamma^{-2} s^{-4} + \dots] \quad (1.5)$$

Если γ близко к единице ($\gamma - 1 = \delta \ll 1$), то имеем

$$\alpha_{10}^* = \frac{1}{s} \left[1 + \frac{\delta}{1 + s^2} + \frac{s^2(1 - s^2)}{(1 + s^2)^3} \delta^2 + \frac{s^2(s^6 - 2s^4 + 4s^2 - 1)}{(1 + s^2)^5} \delta^3 + \dots \right] \quad (1.6)$$

$$v^* = \alpha_{\tau}^* s \left[1 - \frac{\delta}{1 + s^2} + \frac{1 + s^4}{(1 + s^2)^3} \delta^2 - \frac{s^8 + 5s^4 - s^2 + 1}{(1 + s^2)^5} \delta^3 + \dots \right] \quad (1.7)$$

С ростом Z величина v^* и ее производная монотонно возрастают от значений (1.4), пропорциональных Z и обратно пропорциональных γ , до значений (1.5), обратно пропорциональных Z , асимптотически приближаясь к своему значению для пьезотропной среды. При любом Z значение v^* тем меньше, чем больше γ . Число ζ_1^* с ростом Z монотонно возрастает от $\pi(2\gamma\alpha_{\tau}^*)^{-1}$ до своего значения $\pi(2\alpha_{\tau}^*)^{-1}$ для пьезотропной среды. Кривая $\zeta_1^*(Z)$ имеет единственную точку перегиба. При любом Z значение ζ_1^* тем больше, чем меньше γ .

Фиг. 1 также дает зависимость $Z^*(v)$ или $Z^*(l_{\tau_0})$. Для заданных γ и l_{τ_0} термические волны образуются лишь при $Z > Z^*$. Для каждой заданной оптической длины акустической волны l_{τ_0} существует предельное значение Z , ниже которого термические волны не возбуждаются: за границу звуковой волны выходит недостаточное для индуцирования новых волн количество радиационной энергии. При заданных γ , Z термические волны возбуждаются только тех частот, которым соответствуют звуковые волны с оптическими длинами, не меньшими величины $l_{\tau_0}^* = 2\pi v^{*-1}$.

Поток радиации с ростом v от 0 до v^* возрастает от 0 до максимума, а затем снова падает до 0 при $v \rightarrow v^*$. Предельное значение коэффициента поглощения на длине звуковой адиабатической волны $\alpha_{\tau_0}^*$ монотонно убывает с ростом Z (фиг. 1); его величина тем больше, чем больше γ при одном и том же Z . Для больших Z он совпадает со своим значением в пьезотропной среде. Коэффициент поглощения на длине свободного пробега радиации в пределе равен постоянной величине α_{τ}^* для всех γ , Z . Скорость и длина волны в пределе становятся бесконечными, гармонические возмущения радиационного поля в координатной плоскости порождают экспоненциально затухающие в пространстве колебания всей среды как целого. Бегущие волны не образуются.

Термические радиационные волны существуют при $\zeta_1 > \zeta_{1*}$. Это условие, в силу (1.10) статьи [1], перепишется так:

$$\frac{\varepsilon_2}{\varepsilon_{\tau}} > \frac{\varepsilon_{\tau}^*}{\varepsilon_{\tau}^{*2}} = \frac{1}{\alpha_{\tau}^*} \frac{\gamma v^{*2} + \alpha_{\tau}^{*2}}{\gamma(v^{*2} + \alpha_{\tau}^{*2})} \quad (1.8)$$

Волны могут возникать лишь при таких условиях в среде и при таких частотах вынуждающих колебаний, когда отношение излучаемой единицей массы газа за период колебаний радиационной энергии к массовой плотности внутренней термической энергии газа становится не меньше некоторой предельной величины порядка единицы.

Поведение параметров волны в окрестности предельной точки $\alpha_{\tau} = \alpha_{\tau}^*$, $\eta = 0$ определяется соотношениями

$$\begin{aligned} \alpha_{\tau} &= \alpha_{\tau}^* + A_1(v - v^*), & \eta &= A_2(v - v^*) \\ A_1 &= -\gamma R^{-1} \alpha_{\tau}^* \zeta_1^* \varphi^* (\alpha_{\tau}^* - 1)^2 \{(v^2 + \alpha_{\tau}^{*2}) \chi^{*2} + 2v^{*2} [2\gamma \chi^{*2} - \psi^{*2} (\chi^* + \gamma \psi^*)]\} \\ R &= \gamma^2 Z \zeta_1^{*2} (\alpha_{\tau}^{*2} - 1)^2 [(v^{*2} + 5\alpha_{\tau}^{*2}) \chi^{*2} - 2\alpha_{\tau}^{*2} \psi^* (\chi^* + \psi^*)] + \\ &\quad + \alpha_{\tau}^{*4} (\gamma v^{*2} + \alpha_{\tau}^{*2}) \chi^{*3}, & \psi^* &= \pi \chi^* (2\gamma \zeta_1^* \alpha_{\tau}^*)^{-1} \\ A_2 &= \chi^* \alpha_{\tau}^{*2} A_1 [\gamma \zeta_1^* \varphi^* (\alpha_{\tau}^{*2} - 1)]^{-1} \\ \varphi^* &= \psi^* + 2(\gamma - 1) \alpha_{\tau}^{*2} v^{*2}, & \chi^* &= (\gamma v^{*2} + \alpha_{\tau}^{*2})^2 \end{aligned} \quad (1.9)$$

Величины A_1 , A_2 — отрицательные, монотонно убывающие по модулю с ростом Z (и v) и возрастающие с ростом γ ($1 \leq \gamma \leq 2$), причем

$$\begin{aligned} A_1 &\approx -0.12615 \gamma Z^{-1}, & A_2 &\approx -0.31570 \gamma Z^{-1} \quad (Z \ll 1) \\ A_1 &\approx -0.12615 [\gamma + 4(\gamma^2 - 1)] (\gamma Z)^{-1} & & \quad (Z \gg 1) \\ A_2 &\approx -0.31570 [\gamma + 4(\gamma^2 - 1)] (\gamma Z)^{-1} & & \end{aligned} \quad (1.10)$$

§ 2. Пьезотропная среда. Законы распространения волн в газе и при $\gamma \neq 1$, начиная с некоторых ζ_1 , в первом приближении совпадают с законами для пьезотропной среды, если Z достаточно велико, и описываются подобными им законами, если Z мало. Уравнение (0.1) при $\gamma = 1$ распадается на два

$$m^2 + 1 = 0, \quad 1/2 q^{-1} \ln [(1+q)/(1-q)] = 1 + i\zeta_1 \quad (2.1)$$

Первым уравнением описывается движение со скоростью звука незатухающих волн давления. Второе дает законы движения термических радиационных волн. Оно эквивалентно системе

$$\begin{aligned} \mu &= \alpha_{\tau} - \zeta_1 \eta, & v &= \eta + \zeta_1 \alpha_{\tau} \\ \mu &\equiv \frac{1}{4} \ln \frac{(1 + \alpha_{\tau})^2 + \eta^2}{(1 - \alpha_{\tau})^2 + \eta^2} & & \quad (2.2) \\ v &\equiv \begin{cases} 1/2 \arctg [2\eta(1 - \alpha_{\tau}^2 - \eta^2)^{-1}], & \alpha_{\tau}^2 + \eta^2 < 1 \\ 1/2 \{\pi - \arctg [2\eta(\alpha_{\tau}^2 + \eta^2 - 1)^{-1}]\}, & \alpha_{\tau}^2 + \eta^2 > 1 \end{cases} \end{aligned}$$

Искомый корень зависит только от ζ_1 . При $\alpha_\tau^2 + \eta^2 = 1$ получаем $\alpha_\tau = 0.89666540$, $\eta = 0.44270888$, $\zeta_1 = 0.38218189$. Из (2.2) видно, что $\alpha_1 \geq 1$ (равенство при $\alpha_\tau = \eta = 0$), форма гармонических колебаний в волне не сохраняется, индуцируются почти экспоненциально затухающие возмущения. При малых ζ_1 решение дается разложениями

$$\begin{aligned} \alpha_\tau &= \sqrt{1.5\zeta_1}(1 + a_1\zeta_1 - a_2\zeta_1^2 - a_3\zeta_1^3 - a_4\zeta_1^4 + \dots) \\ \eta &= \sqrt{1.5\zeta_1}(1 - a_1\zeta_1 - a_2\zeta_1^2 + a_3\zeta_1^3 - a_4\zeta_1^4 + \dots) \\ a_1 &= 1 + 2a_1\zeta_1 + 2a_1^2\zeta_1^2 + 2(a_1^3 + a_1a_2 - a_3)\zeta_1^3 + 2a_1(a_1^3 - 2a_1a_2 - 2a_3)\zeta_1^4 + \dots \quad (2.3) \\ r &= \sqrt{2z_1}[1 + a_1\zeta_1 + (a_1^2 + a_2)\zeta_1^2 + (a_1^3 + 2a_1a_2 - a_3)\zeta_1^3 + \\ &\quad + (a_1^4 + 3a_1^2a_2 - 2a_1a_3 + a_2^2 + a_4)\zeta_1^4 + \dots] \\ z_1 &= \frac{1}{3}Zv, \quad a_1 = \frac{9}{10}, \quad a_2 = \frac{1269}{1400}, \quad a_3 = \frac{12699}{14000}, \quad a_4 = \frac{450672741}{21560000} \end{aligned}$$

В первом приближении α_{10} и r зависят только от z_1 . В окрестности предельного значения ζ_1^*

$$\begin{aligned} \alpha_\tau &= \alpha_\tau^* - 0.12615(\zeta_1 - \zeta_1^*) \\ \eta &= -0.31570(\zeta_1 - \zeta_1^*) \quad (2.4) \end{aligned}$$

Параметры α_τ , $Z\alpha_{10}$, α_1 , rZ^{-1} , η (фиг. 3) определяются только числом ζ_1 . Коэффициент α_τ с ростом ζ_1 возрастает от 0 до максимальной величины (равной ~ 1.22 при $\zeta_{1\max} \approx 1.05$), а затем убывает до предельного значения α_τ^* . Оптическое волновое число η также имеет единственный максимум (равный ~ 0.46 при $\zeta_1 \approx 0.29$). Произведение $Z\alpha_{10}$ монотонно убывает от ∞ до предельного значения. При фиксированном ζ_1 коэффициент поглощения $\alpha_{10} \sim Z^{-1}$, а при фиксированном Z — тем меньше, чем больше v . Коэффициент поглощения α_1 монотонно возрастает от 1 до ∞ . Величина rZ^{-1} монотонно возрастает от 0 до ∞ с ростом ζ_1 от 0 до ζ_1^* . При фиксированном ζ_1 отношение скоростей $r \sim Z$. В начале координат $dr/dv = \infty$.

Из фиг. 3 можно получить сведения и о зависимости параметров от v . Кривая $\alpha_1(v)$ идет тем ниже, чем больше Z ; кривые, соответствующие разным Z , не пересекаются. Коэффициент $\alpha_{10} \sim Z^{-1/2}$ при $v \ll 1$. Две кривые $\alpha_{10}(v)$, соответствующие Z_1 и Z_2 , либо не пересекаются, либо пересекаются в одной точке. Пересечение имеет место, если v удовлетворяет одновременно неравенствам

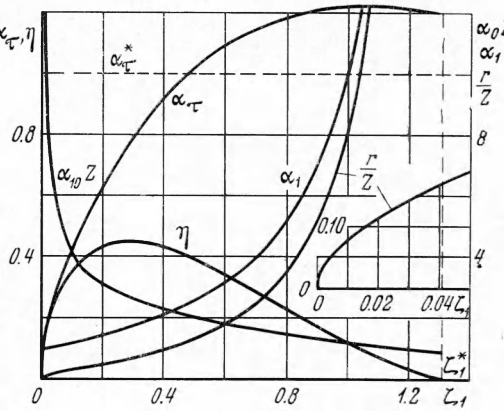
$$\zeta_{1\max} Z_1 < v < \zeta_1^* Z_1, \quad \zeta_1^{**} Z_2 \leq v < \zeta_{1\max} Z_2, \quad Z_1 < Z_2 \quad (2.5)$$

$$(\zeta_1^{**} \text{ меньший корень уравнения } \alpha_\tau^*(\zeta_1) = 1)$$

Кривая $\alpha_\tau(v)$ имеет максимум. Восходящая ветвь кривой тем выше, чем меньше Z . Восходящая ветвь кривой, соответствующей большему Z , может пересекаться в одной точке с нисходящей ветвью кривой, соответствующей меньшему Z , если можно одновременно удовлетворить неравенствам (2.5). Заменой в (2.5) Z_1 на Z_2 ($Z_1 > Z_2$) получаются условия пересечения нисходящей ветви кривой, соответствующей меньшему значению Z , с восходящей ветвью кривой, отвечающей большему Z .

Кривые $r(v)$ монотонно возрастают от 0 до ∞ , в начале координат производная $dr/dv = \infty$. При малых v кривые идут тем выше, чем больше Z . Кривая, соответствующая фиксированному Z , пересекается один раз с каждой кривой, соответствующей другому Z ; точка пересечения лежит тем правее и тем выше, чем большему Z соответствует вторая кривая. В любой точке положительного квадранта плоскости (r, v) пересекаются две кривые, соответствующие разным Z .

С ростом v оптическое волновое число η растет тем быстрее, чем меньше Z . Величина $\eta \sim Z^{-1/2}$ при малых v . Имеется максимум кривой, после чего $\eta(v)$ убывает до 0 в предельной точке. Кривые для разных Z по одному разу пересекаются (не считая начала координат), причем восходящая ветвь кривой, соответствующей большему Z , пересекается с нисходящей ветвью кривой, соответствующей меньшему Z .



Фиг. 3

Индукционные волны — затухающие, волны давления — незатухающие: при всех частотах преобладают волны давления.

§ 3. Малые числа Z . При $Z \ll 1$ термические радиационные волны существуют лишь при $v \ll 1$, причем всюду $|m| \gg 1$, $|q| \leq 0$ (1). В первом приближении уравнение (0.1) принимает вид

$$\frac{1}{2q} \ln \frac{1+q}{1-q} = 1 + \gamma i \zeta_1 \quad (3.1)$$

что отличается от (2.2) заменой ζ_1 на $v\zeta_1$. Последующие приближения найдутся, если положить (m_0 — корень уравнения (3.1))

$$m = m_0(1 + \varepsilon_1 + \varepsilon_2 + \varepsilon_3 + \dots) \quad (3.2)$$

Второе $m_0\varepsilon_1$ и третье $m_0\varepsilon_2$ приближения при $\zeta_1 = 0$ (1) определяются соотношениями ($\alpha_{\tau 0} = m_{r0}v$, $\eta_0 = m_{i0}v$)

$$\begin{aligned} \operatorname{Re} \varepsilon_1 &= D [2A\alpha_{\tau 0}\eta_0 - B(\alpha_{\tau 0}^2 - \eta_0^2)] \\ \operatorname{Im} \varepsilon_1 &= D [A(\alpha_{\tau 0}^2 - \eta_0^2) - 2B\alpha_{\tau 0}\eta_0] \\ A &= 1 - C(1 - \alpha_{\tau 0}^2 - \eta_0^2), \quad C = [(1 - \alpha_{\tau 0}^2 + \eta_0^2)^2 + 4\alpha_{\tau 0}^2\eta_0^2]^{-1} \\ B &= \gamma\zeta_1 + 2\alpha_{\tau 0}\eta_0 C, \quad D = \gamma(\gamma - 1)Zv(\alpha_{\tau 0}^2 + \eta_0^2)^{-2}(A^2 + B^2)^{-1} \quad (3.3) \\ m_0^4 [1 + \gamma i \zeta_1 + (m_0^2 v^2 - 1)^{-1}] \varepsilon_2 &= m_0^4 \varepsilon_1^2 [1 + \gamma i \zeta_1 + \\ &+ (2m_0^2 v^2 - 1)(m_0^2 v^2 - 1)^{-2}] - (\gamma - 1)\gamma i \zeta_1(m_0^2 \varepsilon_1 + \gamma) \quad (3.4) \end{aligned}$$

При малых ζ_1 (одновременно $v \ll 1$, $Zv \ll 1$)

$$\begin{aligned} m_0v &= (1+i)(^{3/2}\gamma\zeta_1)^{1/2}, \quad \varepsilon_1 = -ic_1\zeta_1, \quad \varepsilon_2 = -c_2\zeta_1^2, \quad \varepsilon_3 = -ic_3\zeta_1^3 \quad (3.5) \\ c_1 &= ^9/10\gamma(1 - Z^2/Z_0^2), \quad Z_0^2 = 5.4\gamma^2/(\gamma - 1) \\ c_2 &= ^{1269}/1400\gamma^2 - ^{3/20}(\gamma - 1)Z^2 + ^{1/72}(\gamma - 1)(5 - \gamma)\gamma^{-2}Z^4 \\ c_3 &= 2c_1^3 + ^{1/6}c_1^2(Z^2 - 81\gamma) - ^{6/35}\gamma c_1(7Z^2 - 90\gamma) - \\ &- c_2[c_1 + ^{1/3}(2\gamma - 3)Z^2] + ^{9/14}\gamma^2(Z^2 - 7\gamma) \\ \alpha_{10} &= Z^{-1}(^{3/2}\gamma\zeta_1^{-1})^{1/2}(1 + c_1\zeta_1 - c_2\zeta_1^2 + c_3\zeta_1^3 + \dots) \quad (3.6) \\ m_i &= Z^{-1}(^{3/2}\gamma\zeta_1^{-1})^{1/2}(1 - c_1\zeta_1 - c_2\zeta_1^2 - c_3\zeta_1^3 + \dots) \\ \alpha_1 &= 1 + 2c_1\zeta_1 - 2c_1^2\zeta_1^2 + 2(c_1^3 + c_1c_2 + c_3)\zeta_1^3 + \dots \\ r &= Z(^{2/3}\gamma^{-1}\zeta_1)^{1/2}[1 + c_1\zeta_1 + (c_1^2 + c_2)\zeta_1^2 + \\ &+ (c_1^3 + 2c_1c_2 + c_3)\zeta_1^3 + \dots] \end{aligned}$$

В окрестности $\zeta_1 = \zeta_1^*$

$$\begin{aligned} \alpha_{\tau} &= [1 + (1 + \lambda^2)^{-1}(1 - v/v^*)]\alpha_{\tau}^* \quad (3.7) \\ \eta &= \frac{\lambda\alpha_{\tau}^*}{1 + \lambda^2} \left(1 - \frac{v}{v^*}\right), \quad \lambda = \frac{\alpha_{\tau}^{*2}}{\gamma\zeta_1^*(\alpha_{\tau}^{*2} - 1)} \end{aligned}$$

Итак, если $Z \ll 1$, то $\alpha_{10} \gg 1$ при любом $v < v^*$ и убывает с ростом v ; при малых v коэффициент α_{10} обратно пропорционален корню квадратному из частоты. Термические радиационные волны при $Z \ll 1$ затухают гораздо быстрее волн давления той же частоты. Коэффициент $\alpha_1 \gg 1$ и растет с увеличением или уменьшением Z , форма волны искажается. Это скорее экспоненциально затухающие начальные возмущения по несколько измененному закону Буге. Волны по существу не образуются. Скорость распространения мала при $v \ll 1$ и пропорциональна корню квадратному из частоты; с ростом v скорость и длина волны монотонно растут от 0 до ∞ . Коэффициент α_{τ} и η возрастают от 0 до максимума, после чего $\alpha_{\tau} \rightarrow \alpha_{\tau}^*$, а $\eta \rightarrow 0$.

§ 4. Большие числа Z . При больших Z решение, описывающее термические радиационные волны, существует в широком диапазоне чисел v .

1) При $v \ll 1$, $Zv \ll 1$ справедливы разложения (3.6). Термические радиационные волны затухают гораздо сильнее, а распространяются гораздо медленнее волн давления и гораздо короче их. С ростом v коэффициенты α_1 и α_{10} убывают, а величины r , α_τ растут. Коэффициенты α_{10} , α_τ тем больше, чем больше γ и чем меньше Z . Скорость и длина волны тем больше, чем меньше γ и больше Z . Коэффициент α_1 с ростом γ и Z убывает.

2) При $v \leq 1$, $Zv = 0(1)$ искомый корень характеристического уравнения представляется разложениями (4.2) статьи [1], где

$$m_{r0} = \frac{u_1}{\sqrt{2z_1}}, \quad m_{i0} = \frac{u_1}{\sqrt{2z_1}} \quad (1 \leq \gamma < 2) \quad (4.1)$$

$$u_1 = [1/\gamma(a_5 + a_2 - z_1)]^{1/2}, \quad u_2 = [1/\gamma(a_5 - a_2 + z_1)]^{1/2} \quad (4.2)$$

$$a_5 = [1 + a_1 + z_1^2 - 2(a_2 z_1 - a_3)]^{1/2}$$

величины a_1 , a_2 , a_3 даны в статье [1]. В первом приближении

$$\alpha_{10} = u_1 / \sqrt{2z_1}, \quad \alpha_\tau = u_1 \sqrt{\gamma/2z_1}, \quad \alpha_1 = u_1 / u_\tau, \quad r = \sqrt{2z_1} / u_2, \quad \eta = u_2 \sqrt{3/2z_1} \quad (4.3)$$

Из этих выражений получаются в первом приближении и формулы при $Zv \ll 1$ и при $v \ll 1$, $Zv \gg 1$, т. е. они пригодны в первом приближении, когда $v \ll 1$, $\zeta_1 \ll 1$. Обе пары корней порядка 1 и в первом приближении определяются числами Zv и γ . Коэффициент α_{10} монотонно убывает с ростом Zv . Коэффициент α_τ — малая величина, монотонно возрастающая с ростом Zv . Для фиксированного Zv коэффициент $\alpha_\tau \sim Z^{-1}$. Коэффициент α_1 (фиг. 4) имеет минимум

$$z_1 \min = 1$$

$$\alpha_1 \min = (1 + \sqrt{2 - \gamma}) / (1 + \sqrt{\gamma}) \quad (4.4)$$

Минимум тем меньше, чем больше γ (при $\gamma = 2, 5/3, 3/2, 7/5, 4/3, 6/5, 11/10$ соответственно $\alpha_{10 \min} = 0.4142136, 0.6885003, 0.7673269, 0.8128361, 0.8430390, 0.9041691, 0.9511225$).

Скорость волн монотонно возрастает с ростом Zv , в этой области осуществляется переход от дозвуковых к сверхзвуковым скоростям. Величина η — малая, монотонно растет с ростом v (при заданном Z) и монотонно убывает с ростом Z (при заданном v). В области $Zv = 0(1)$ кривые $\alpha_{10}(v)$ (а также и $\alpha_{10}(\zeta_1)$) для одинаковых Z , но разных γ пересекаются, после пересечения выше идет кривая, соответствующая меньшему γ .

Отношение $m^{(21)}$ коэффициентов затухания термических радиационных волн и волн давления на фиксированной длине и отношение $\alpha_1^{(21)}$ истинных коэффициентов затухания в этой области достигают минимумов, больших единицы. При любом Z и малых v преобладают волны давления. Отношение скоростей и длин волн $r^{(21)}$ монотонно возрастает с ростом Zv и при $z_1 = 1/\gamma$ достигает единицы.

Если рассматривать $\gamma \geq 2$, то при $\gamma = 2$ имеем:

$$z_1 < 1 \quad (4.5)$$

$$\alpha_{10} = \sqrt{1/(y_0 - 1)}, \quad m_{i0} = \sqrt{1/(y_0 + 1)}$$

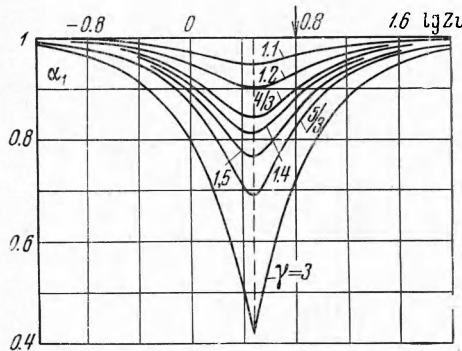
$$\alpha_1 = [(y_0 + 1)/(y_0 - 1)]^{1/2}, \quad y_0 = z_1^{-1} [2(1 + \sqrt{1 - z_1^2})]^{1/2}$$

$$z_1 = 1 \mp 0 \quad (4.6)$$

$$\alpha_{10} = \sqrt{1/y_0}, \quad r = \sqrt{2\alpha_1}, \quad \alpha_1 = \sqrt{2} - 1, \quad d\alpha_1/dz_1 = \mp \infty$$

$$z_1 > 1 \quad (4.7)$$

$$\alpha_{10} = \sqrt{1 - y_0'}, \quad \alpha_1 = \left(\frac{1 - y_0'}{1 + y_0'} \right)^{1/2}, \quad y_0' = \left(\frac{z_1 - \sqrt{z_1^2 - 1}}{2z_1} \right)^{1/2}$$



Фиг. 4

Если $\gamma > 2$, то в (4.1) вместо a_5 следует подставить

$$a_5' = [1 + a_1 + z_1^2 - 2(a_2 z_1 + a_3)]^{1/2} \quad (4.8)$$

В точке $z_1 = 1$ при $1 < \gamma < 2$ коэффициенты поглощения волн давления $\alpha_{10}^{(1)}$, $\alpha_1^{(1)}$ [1] достигают максимумов, а для термических радиационных волн α_1 и отношение $\alpha^{(21)}$ достигают минимумов. Параметры обеих волн в этой точке равны

$$\begin{aligned} m_r^{(1)} &= \frac{1}{2} [\sqrt{\gamma}(2 - \sqrt{2-\gamma}) - \sqrt{\gamma}]^{1/2}, \\ m_i^{(1)} &= \frac{1}{2} [\sqrt{\gamma}(2 + \sqrt{2+\gamma}) + \sqrt{\gamma}]^{1/2}, \quad \alpha_1^{(1)} = (1 - \sqrt{2-\gamma})(1 + \sqrt{\gamma})^{-1} < 1 \\ m_r &= \frac{1}{2} [\sqrt{\gamma}(2 + \sqrt{2-\gamma}) - \sqrt{\gamma}]^{1/2}, \quad m_i = \frac{1}{2} [\sqrt{\gamma}(2 - \sqrt{2-\gamma}) + \sqrt{\gamma}]^{1/2} \\ \alpha_1 &= (1 + \sqrt{2-\gamma})(1 + \sqrt{\gamma})^{-1} < 1 \\ m^{(21)} &= \frac{2 + \sqrt{2-\gamma} - \sqrt{\gamma}}{\sqrt{2}(\sqrt{\gamma}-1)}, \quad \alpha^{(21)} = \frac{1 + \sqrt{2-\gamma}}{1 - \sqrt{2-\gamma}}, \quad r^{(21)} = \left(\frac{2 + \sqrt{2-\gamma} + \sqrt{\gamma}}{2 - \sqrt{2-\gamma} + \sqrt{\gamma}} \right)^{1/2} \end{aligned} \quad (4.9)$$

В этой же точке при $\gamma \geq 2$

$$\begin{aligned} m_r^{(1)} &= \frac{1}{2} [(\sqrt{2}-1)(\gamma - \sqrt{\gamma(\gamma-2)})]^{1/2} \\ m_i^{(1)} &= \frac{1}{2} [(\sqrt{2}+1)(\gamma - \sqrt{\gamma(\gamma-2)})]^{1/2}, \quad \alpha_1^{(1)} = \alpha_1 = \sqrt{2}-1 \\ m_r &= \frac{1}{2} [(\sqrt{2}-1)(\gamma + \sqrt{\gamma(\gamma-2)})]^{1/2} \\ m_i &= \frac{1}{2} [(\sqrt{2}+1)(\gamma + \sqrt{\gamma(\gamma-2)})]^{1/2} \\ m^{(21)} &= \frac{1}{2} \sqrt{2}(\sqrt{\gamma} + \sqrt{\gamma-2}) \geq 1, \quad r^{(21)} = \frac{1}{2} \sqrt{2}(\sqrt{\gamma} - \sqrt{\gamma-2}) \leq 1, \quad \alpha^{(21)} = 1 \end{aligned} \quad (4.10)$$

Коэффициенты α_1 обеих категорий волн в этой области при любом γ заключены между 0 и 1, и при $z_1 = 1$ с ростом γ коэффициенты разных категорий волн сближаются, а при $\gamma = 2$ сливаются так же, как и коэффициенты α_{10} . При дальнейшем увеличении γ при $z_1 = 1$ образуется угловая точка, если под волнами давления всегда помнить волны, непрерывно переходящие в звуковые на краях этой области (Z , v).

3) В случае $\xi_1 \ll 1$, $Zv \gg 1$ при любых Z , v имеем

$$\begin{aligned} \alpha_{10} &= \frac{1}{2} z_1^{-1} \sqrt{2z_1} [1 - f_1 + f_2 + O(k)], \quad \eta = \sqrt{\frac{3}{2}\zeta_1} [1 + f_1 + f_2 + O(k)] \quad (4.11) \\ \alpha_1 &= 1 = 2f_1 + 2f_1^2 + O(k), \quad r = \sqrt{2z_1} [1 - f_1 - f_2 + f_1^2 + O(k)] \\ f_1 &= (\gamma - 1 - \frac{3}{5}\gamma v^2)(2\gamma z_1)^{-1} \\ f_2 &= [(\gamma - 1)(7 - 3\gamma + 6\gamma v^2) - \frac{141}{175}\gamma^2 v^4](8\gamma^2 z_1^2)^{-1} \\ k &= \xi_1^m z_1^{-n} (n + m = 3; n, m = 0, 1, 2, 3) \end{aligned}$$

В этой области α_{10} , α_τ , α_1 , r тем больше, чем меньше γ .

Термические радиационные волны в этом диапазоне Z и v слабо затухают на длине звуковой волны и на длине свободного пробега радиации, причем $\alpha_{10} \sim v^{-1/2}$, $\alpha_\tau \sim \sim v^{1/2}$, $\alpha_a^1 \sim v^{1/2}$. Поправка к первому приближению коэффициентов поглощения отрицательная, для $v < \bar{v}^* \approx [5(\gamma - 1) / (3\gamma)]^{1/2}$, и положительная для $v > \bar{v}^*$ (если $\gamma = 2, \frac{5}{3}, \frac{3}{2}, \frac{7}{5}, \frac{4}{3}, \frac{6}{5}, \frac{11}{10}$, то соответственно $\bar{v}^* = 0.91287, 0.81650, 0.69007, 0.74536, 0.64550, 0.52705, 0.038925$). Коэффициент α_1 при $v = \bar{v}^*$ достигает 1, после чего продолжает монотонно расти вместе с v . Поскольку α_1 близко к единице, форма волны искажается. В этой области величина [1] $\beta \gg 1$ при любом v , вследствие чего в первом приближении

$$m^{(21)} = \frac{\sqrt{6\xi_1}}{\gamma-1} K', \quad \alpha^{(21)} = \frac{2\sqrt{\gamma}}{\gamma-1} ZK', \quad r^{(21)} = \sqrt{2\gamma z_1} \quad (4.12)$$

При $v \ll 1$, $Zv \gg 1$ и при $v \gg 1$, $\xi_1 \ll 1$ получим соответственно

$$m^{(21)} = \left(\frac{2\gamma z_1}{\gamma-1} \right)^{1/2}, \quad \alpha^{(21)} = \frac{2\gamma z_1}{\gamma-1} \quad (4.13)$$

$$m^{(21)} = \frac{\sqrt{6\gamma\xi_1}}{(\gamma-1)\gamma v}, \quad \alpha^{(21)} = \frac{2\sqrt{\gamma}}{(\gamma-1)\xi_1} \quad (4.14)$$

Отношение $m^{(21)}(v)$ при фиксированном Z растет от значения (4.13) до максимального, а затем монотонно убывает до значений (4.14). Максимальное значение v определяется корнем уравнения ($\sqrt{V}v_{\max} = 0.791068980$)

$$5(1 + \gamma v^2) \operatorname{arc tg}(\sqrt{\gamma}v) = \sqrt{\gamma}v(5 + 3\gamma v^2) \quad (4.15)$$

Значения v и $m^{(21)}$ в точке максимума следующие

$\gamma =$	1.1	1.2	4/3	1.4
v_{\max}	0.75425467	0.72214387	0.685085	0.66857531
$m_{\max}^{(21)} / \sqrt{Z}$	5.4894202	2.8050695	1.7279622	1.4576401
$\gamma =$	1.5	5/3	2	3
v_{\max}	0.64590511	0.61275939	0.55937024	0.45672388
$m_{\max}^{(21)} / \sqrt{Z}$	1.1863999	0.91354880	0.63743485	0.35271881

При $v \ll i$ отношение $m^{(21)} > 1$. В области умеренно больших v , а также в области $v \gg 1$, если

$$Z \gg v \geq (6Z)^{1/3} [\gamma(\gamma - 1)^2]^{-1/3} \quad (4.16)$$

отношение $m^{(21)} < 1$, преобладают индуцированные радиацией волны: они медленнее затухают и распространяются с большей скоростью.

Формула (4.12) для $r^{(21)}$ справедлива при любом v в рассматриваемом диапазоне. Скорость и длина индуцированных радиацией волн больше скорости и длины звуковых волн и волн давления той же частоты. Скорость волн пропорциональна, а их длина обратно пропорциональна $\sigma^{1/2}$. Отношение скоростей растет с ростом v и γ и убывает с ростом Z . Отношения $r^{(21)}, r > 1$.

Отношение $\alpha^{(21)} \approx Z \gg 1$ во всем диапазоне v . В зависимости от v оно изменяется [1] как функция $K'(v)$ и имеет максимум,

$$v_{\max} = 1.514994 / \sqrt{\gamma}, \quad \alpha_{\max}^{(21)} = 0.459756 \sqrt{\gamma}Z / (\gamma - 1) \quad (4.17)$$

4) В области $v = 0(Z)$ корень характеристического уравнения — малая величина. В первом приближении действительно уравнение (2.2), волны распространяются по законам для пьезотропной среды. Если решение для пьезотропной среды принять за первое приближение, то второе и третье приближения для любого γ определяются выражениями

$$\begin{aligned} \epsilon_1 &= \frac{(\gamma - 1)\zeta_1 [AD - BC + i(AC + BD)]}{C^2 - D^2} \\ \epsilon_2 &= \frac{(\gamma - 1)m_0^2 i \zeta_1 (2\gamma \epsilon_1 - m_0^2) E - \gamma^2 \epsilon_1^2 [m_0^4 v^4 + i \zeta_1 E^2]}{E(m_0^2 v^2 - i \zeta_1 E)} \\ A &= m_{r0}^2 - m_{i0}^2 - v^2(m_{r0}^4 - 6m_{r0}^2 m_{i0}^2 + m_{i0}^4) \\ B &= 2m_{r0} m_{i0} [1 - 2v^2(m_{r0}^2 - m_{i0}^2)] \\ C &= (m_{r0}^2 - m_{i0}^2) v^2 - 2\zeta_1 m_{r0} m_{i0}, \quad E = 1 - m_0^2 v^2 \\ D &= 2v^2 m_{r0} m_{i0} + \zeta_1 v^2 (m_{r0}^2 - m_{i0}^2) - \zeta_1 \end{aligned} \quad (4.18)$$

Из (1.5) видно, что при больших Z в окрестности ζ_1^* величина α_{10} — малая, а величина r — большая. Волны слабо затухают на длине звуковой волны и распространяются с очень большой сверхзвуковой скоростью. С ростом ζ_1 величина α_{10} убывает, α_1 и r растут. В этой области кривые $\alpha_{10}(v)$ (а также $\alpha_{10}(\zeta_1)$) для разных γ еще раз пересекаются, и после пересечения выше пойдет кривая для большего γ . Но различие между $\alpha_{10}(v)$ для разных γ лишь на малую величину порядка v^{-1} . Коэффициент α_1 в области $\zeta_1 = 0(1)$ достигает максимума, после чего монотонно убывает до α_1^* при $\zeta_1 \rightarrow \zeta_1^*$.

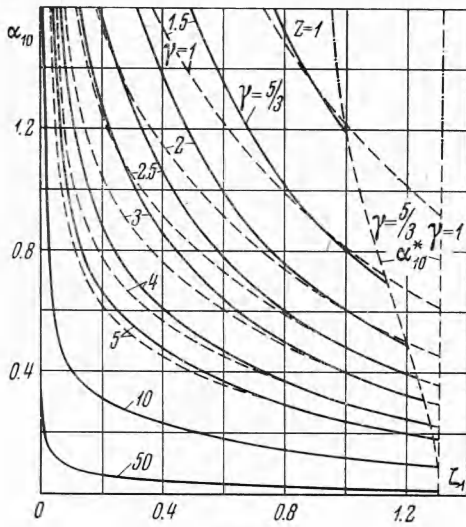
Отношения $m^{(21)} < 1, r^{(21)} > 1$ при $\zeta_1 \rightarrow \zeta_1^*$. Отношение $m^{(21)}$ становится меньшим 1 либо при $\zeta_1 \ll i$, если удовлетворяются (4.16), либо при $\zeta_1 = 0(1)$ в противном случае; начиная с некоторого ζ_1 (при умеренных или больших v), преобладающими

становятся индуцированные радиацией волны, и с ростом v это преобладание усиливается ($m^{(21)}$ уменьшается, $r^{(21)}$ увеличивается).

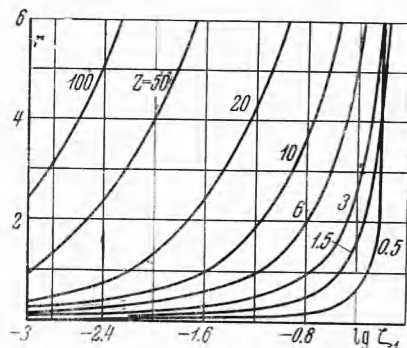
Отношение $\alpha^{(21)}$ при возрастании v в области умеренных значений ξ_1 достигает второго минимума, гораздо большего единицы, после чего неограниченно возрастает при $\xi_1 \rightarrow \xi_1^*$.

§ 5. Свойства индуцированных радиацией волн. В этом параграфе представлены результаты решения характеристического уравнения для всего диапазона значений γ , Z , v .

Коэффициент поглощения на длине звуковой волны (фиг. 5). С изменением ξ_1 от 0 до ξ_1^* при фиксированных γ , Z модули m_r , m_i убывают от ∞ до m_r^* и 0. При малых Z кривые $\alpha_{10}(\xi_1)$ и $\alpha_{10}(v)$ для одинаковых Z , но разных γ пересекаются по одному разу в области $\xi_1 = 0$ (1); кривая, соответствующая меньшему γ , после пересечения идет выше. Чем меньше γ , тем дальше вправо простираются кривые, и тем меньше предельное значение α_{10}^* . С ростом Z появляется второе пересечение. При $Z \gg 1$ оно происходит в области $Zv = 0$ (1). До первой и после второй точек пересечения α_{10} больше для большего γ , между ними α_{10} больше для меньшего γ при одинаковых Z , v . С ростом ξ_1 и Z зависимость параметров от v сглаживается. Чем больше Z , тем в большем диапазоне ξ_1 или v параметры совпадают с их значениями при $\gamma = 1$. Для каждого γ кривые $\alpha_{10}(\xi_1)$ тем ниже и тем дальше простираются вправо, чем больше Z . Такова же зависимость от Z и γ и кривых $\alpha_{10}(v)$, их зависимость от v аналогична зависимости от ξ_1 . На фиг. 5 сплошными линиями представлена зависимость $\alpha_{10}(\xi_1)$ для $\gamma = 5/3$, разрывными — для $\gamma = 1$, пунктирными линиями даны предельные значения α_{10}^* .



Фиг. 5



Фиг. 6

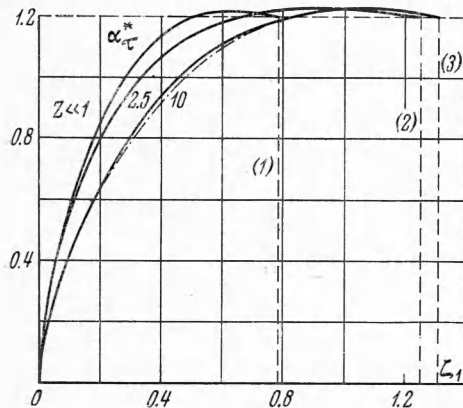
Скорость и длина волн с изменением ξ_1 от 0 до ξ_1^ (или v от 0 до v^*)* монотонно возрастают от 0 до ∞ (фиг. 6 для $\gamma = 5/3$). При достаточно малых ξ_1 (или v) волны дозвуковые и их длина короче звуковых, а начиная с некоторых ξ_1 (или v), зависящих от γ и Z , они становятся сверхзвуковыми и длиннее звуковых. Кривые $r(\xi_1)$ и $r(v)$ выходят из начала координат с вертикальными касательными. Кривая $z(\xi_1)$ вблизи начала тем выше, чем больше число Z и чем меньше γ , а вблизи ξ_1^* тем выше и тем раньше кривая приближается (асимптотически) к бесконечности, чем меньше Z и чем больше γ . Кривые для одинаковых γ , но разных Z или для одинаковых Z , но разных γ пересекаются между собой по одному разу (кроме начала координат).

Оптическое волновое число. Из начала координат кривые $\eta(\xi_1)$ выходят с наклоном, не зависящим от Z и пропорциональным $\sqrt{\gamma}$, достигают максимума и затем монотонно приближаются к оси абсцисс, когда $\xi_1 \rightarrow \xi_1^*$, причем чем больше Z и меньше γ , тем ближе нисходящая ветвь приближается слева к кривой для пьезотропного газа.

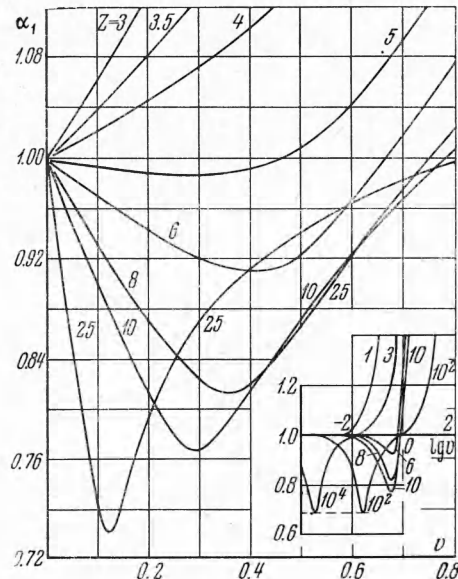
Коэффициент поглощения на длине свободного пробега радиации α_τ с ростом ξ_1 , от 0 до ξ_1^* (v от 0 до v^*) сначала возрастает от 0 до максимума, в области умеренных ξ_1 , зависящего от Z и γ (фиг. 7), а затем уменьшается до α_τ^* при любых γ , Z . Все кривые $\alpha_\tau(\xi_1)$, $\alpha_\tau(v)$ в начале координат касаются оси ординат. Кривые $\alpha_\tau(\xi_1)$ вблизи начала не зависят явно от Z и идут тем круче, чем больше γ . Кривая $\alpha_\tau(v)$ идет тем круче, чем меньше Z . Вблизи ξ_1^* обе кривые убывают быстрее при больших γ ; кривая

$\alpha_\tau(\zeta_1)$ убывает быстрее при больших, а кривая $\alpha_\tau(v)$ — при меньших Z . Максимумы кривых расположены тем правее, чем больше Z и меньше γ . На фиг. 7 изображены кривые $\alpha_\tau(\zeta_1)$ для $\gamma = \frac{5}{3}$ и различных Z . Разрывная линия (ниже линии $Z = 10$) соответствует $\gamma = 1$ и не зависит от Z . Линия для $Z \ll 1$, $\gamma = \frac{5}{3}$ обрывается при $\zeta_1 = -0.78561$, для $Z = 2.5$, $\gamma = \frac{5}{3}$ — при $\zeta_1 = 1.2412$, для $\gamma = 1$ — при $\zeta_1 = 1.3093$.

Истинный коэффициент поглощения α_1 при малых v , когда одновременно малы ζ_1 и Zv , близок к 1 и определяется (3.6). В окрестности $v = 0$ величина $\alpha_1 > 1$, если $Z \leq Z_0$ и $\alpha_1 < 1$, если $Z > Z_0$ ($Z_0 = 8.08332, 6.23538, 5.36656, 5.14393, 4.92950, 4.8, 4.74342, 4.64758$ при $\gamma = 1.1, 1.2, \frac{4}{3}, 1.4, 1.5, 1.6, \frac{5}{3}, 2$ соответственно). Если $Z \leq Z_0$, то α_1 монотонно возрастает от 1 до ∞ с возрастанием ζ_1 (или v) от 0 до ζ_1^* (или v^*) (фиг. 8 для $\gamma = \frac{5}{3}$). Кривые идут вверх тем круче, чем меньше Z . При $Z = Z_0$ кривая $\alpha_1(\zeta_1)$ в точке $\alpha_1 = 1$, $\zeta_1 = 0$ имеет касание второго порядка с линией $\alpha_1 = 1$. Если $Z < Z_0$, $Z < \sqrt[3]{5.4}\gamma$, то чем больше γ , тем круче вверх идут кривые; если $Z > Z_0 > \sqrt[3]{5.4}\gamma$, то чем больше γ , тем под меньшим углом выходят кривые.



Фиг. 7



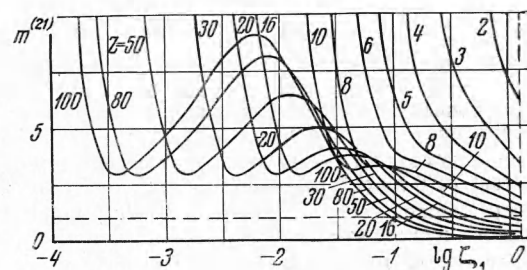
Фиг. 8

При $Z > Z_0$ и любом γ с ростом ζ_1 (или v) от 0 до ζ_1^* (или v^*) коэффициент α_1 убывает от 1 до минимума, а затем неограниченно возрастает. Минимальное α_1 при Z , очень близких к Z_0 , и при $Z \gg 1$ определяется соответственно формулами

$$\begin{aligned} \zeta_{1 \min} &= \sqrt[3]{\frac{c_1}{c_3}} \\ x_{1 \min} &= 1 - \frac{4}{3} \sqrt[3]{\frac{c_1^3}{c_3}} \quad (5.1) \\ v_{\min} &= 3/Z \\ \alpha_{1 \min} &= (1 + \sqrt{2 - \gamma}) / (1 + \sqrt{\gamma}) \quad (5.2) \end{aligned}$$

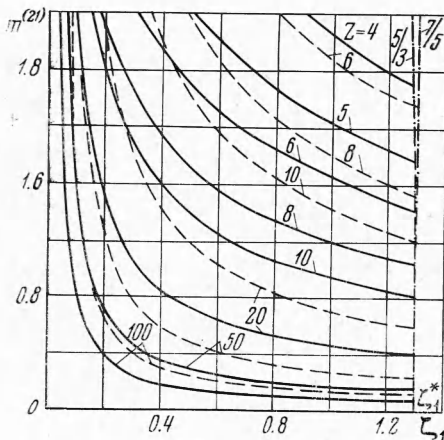
С увеличением Z от Z_0 до ∞ величина $\alpha_{1 \min}$ убывает от 1 до значения (5.3); $\zeta_{1 \min}$ растет от 0 до максимального значения, затем монотонно убывает. Минимальное

α_1 тем меньше, чем больше γ . Кривая тем круче идет из точки $\zeta_1 = 0_1$, $\alpha = 1$ вниз, чем больше Z и меньше γ (если $\gamma > 2$, $Z > \sqrt[3]{5.4}\gamma$, то тем круче, чем больше γ). При $Z > Z_0$ и $0 \leq v \leq v_{11}$ коэффициент $\alpha_1 \leq 1$. Если Z близко к Z_0 , то $v_{11} = (-c_1/c_3)^{1/2}Z$. При возрастании Z величина v_{11} растет от 0 до $[5(\gamma - 1)/(3\gamma)]^{1/2}$. Всегда α_1 не малая величина; форма волны не сохраняется.

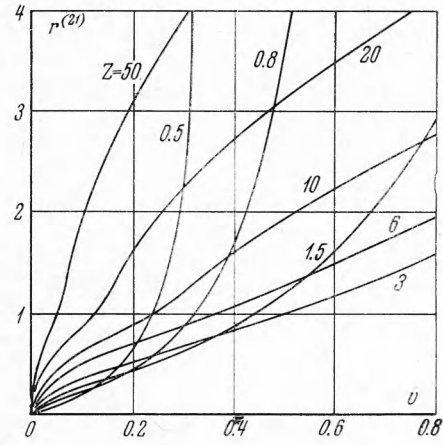


Фиг. 9

Сравнение с волнами давлений. Поглощение. Пока Z мало, отношение $m^{(21)} \gg 1$ и убывает с ростом ζ_1 или v (фиг. 9, 10 для $\gamma = 5/3$). Преобладают волны давления. С ростом Z общий вид функции $m^{(21)}$ меняется, приближаясь к описанной в § 4 для $Z \gg 1$ с одним минимумом, большим единицы, и максимумом. При некотором Z достигается равенство $m^{(21)} = 1$. При заданном γ это достигается (с ростом Z) впервые для некоторого Z^{**} , равного предельному значению Z^* и имеет место только в точке $\zeta_1 = \zeta_1^{**} \rightarrow \zeta_1^*$ (или $v = v^{**} \rightarrow v^*$). При дальнейшем увеличении $Z > Z^{**} \approx 2\sqrt{3}\gamma/(\gamma-1)$ неравенство $m^{(21)} < 1$ выполняется на все большем отрезке v (или ζ_1), с правым концом в точке $v \rightarrow v^*$ ($\zeta_1 \rightarrow \zeta_1^*$). Для $Z > Z^{**}$ индуцированные волны преобладают в диапазоне $v^{**} \leq v \leq v^*$, преобладание больше при больших γ , Z , v . На фиг. 10



Фиг. 10



Фиг. 11

изображено отношение коэффициентов поглощения радиационных термических волн и волн давления для $\gamma = 5/3$ (сплошные линии), $\gamma = 7/5$ (разрывные линии) при указанных на кривых значениях Z ; пунктиром линиями нанесены предельные значения отношения.

Сравнение с волнами давлений. Скорость. Отношение $r^{(21)}$ монотонно возрастает от 0 до ∞ с ростом v (или ζ_1) (фиг. 11 для $\gamma = 5/3$). При малых v волны давления преобладают и по скорости распространения. При значениях параметров, приводящих к неравенству $m^{(21)} < 1$, имеет место и неравенство $r^{(21)} > 1$.

Сравнение с осредненной теорией. Индуцированные волны в статье [8] рассматривались с осреднением по направлениям уравнения переноса реакции. Характеристическое уравнение имело вид (в q^0 и ζ_1^0 включены коэффициенты осреднения).

$$\frac{1}{1 - q^2} = 1 + \gamma \zeta_1^0 \frac{1 + m^2}{\gamma + m^2} \quad (5.3)$$

Из точного учета распределения радиации по направлениям следует существование волн лишь в ограниченном диапазоне чисел u (γ , Z), тогда как осреднение по направлениям приводило к существованию волн при любых γ , Z , v . В осредненной теории получено, что при изменении ζ_1 от 0 до ∞ коэффициент α_τ монотонно возрастает от 0 до g^{-1} (g — коэффициент осреднения). Из точной теории следует, что α_1 возрастает от 0 до α_1^* при росте ζ_1 от 0 до ζ_1^* , и на этом участке достигается максимум. В осредненной теории показано, что $\alpha_1 < 1$ при $Z < Z_0$, $1 \leq \gamma \leq 2$ и $\zeta_1 > 0$. Из точной теории следует, что при γ , близком к 1 и $Z < Z$, на малую величину коэффициент α_τ меньше 1 (на малую величину) в некотором диапазоне малых значений v . При малых ζ_1 левые части (5.1) и (5.4) для $g = 1/\sqrt{3}$ различаются малыми членами 0 ($|q|^4$), и обе теории дадут одинаковые результаты; расхождение усиливается с возрастанием ζ_1 . Однако во многих отношениях обе теории дают сходную общую картину движения и в общем случае.

Поступила 29 XI 1966

ЛИТЕРАТУРА

- П р о к о фьев В. А. Затухание плоских вынужденных слабых волн давления в газах под влиянием радиационного теплообмена. ПМТФ, 1966, № 3, стр. 8—16.

2. Прокофьев В. А. Влияние излучения на распространение малых возмущений в вязкой и теплопроводной жидкости (гидродинамическая теория). Изв. АН СССР, ОТН, 1957, № 7, стр. 94—102.
3. Прокофьев В. А. Поглощение и дисперсия вынужденных волн очень малой и очень большой частоты под влиянием радиационного переноса тепла. Изв. АН ОТН, 1958, № 12, стр. 15—23.
4. Прокофьев В. А. Учет излучения в гидродинамической теории распространения плоских вынужденных волн бесконечно малой амплитуды. Вестн. Москв. ун-та. Сер. матем. механ., астрон., физики, химии, 1957, № 6, стр. 7—16.
5. Прокофьев В. А. Бесконечно малые вынужденные волны в излучающей баротропной среде. Сб. «Вопросы механики» (под ред. Сретенского Л. Н.). Изд. МГУ, 1961, вып. 193, стр. 93—130.
6. Прокофьев В. А. Скорость слабых волн в излучающем газе. ПМТФ, 1963, № 3, стр. 11—19.
7. Янке Е., Эмде Ф. Таблицы функций с формулами и кривыми. Гостехиздат, 1948, стр. 47.
8. Прокофьев В. А. Теория распространения термических радиационных волн малой амплитуды, основанная на газодинамических уравнениях Эйлера с учетом теплообмена излучением. Вестн. Москв. ун-та, 1964, № 5, стр. 55—66.

О РЕШЕНИИ УРАВНЕНИЯ ЭНЕРГИИ ПРИ ЭЛЕКТРОДУГОВОМ ПОДОГРЕВЕ ГАЗА

И. И. Суксов

(Новосибирск)

Известны различные подходы к решению уравнения энергии и расчету на этой основе характеристик электродугового подогрева газов для цилиндрической дуги [1—3]. Метод, изложенный в [3], позволяет получать численно точные результаты путем последовательных приближений.

В настоящей работе предлагается иной подход к решению упомянутой задачи, при котором функция теплопроводности становится независимой переменной, а текущий радиус — искомой функцией. На основе указанного с использованием аппроксимации полиномом второй степени получено приближенное решение в конечной форме. На примерах расчета для воздуха и аргона показано, что это решение приемлемо для инженерных расчетов.

1. Для случая электродугового подогрева газа в цилиндрической трубке круглого поперечного сечения, когда энтальпия \dot{h} и удельный расход ρv_z не зависят от продольной координаты z , уравнение энергии записывается в виде

$$r \frac{\partial s}{\partial r} = - \int_0^r \sigma r dr, \quad s = \int_0^T \lambda dT \quad (1.1)$$

где λ — коэффициент теплопроводности; остальные обозначения — обычные. В проводящей области ($s_d^0 \leq s^0 \leq 1$) уравнение (1.1) представляется в форме

$$A\eta^2 = - t \int_1^{s^0} \sigma^0 t ds^0 \quad (1.2)$$

$$\eta = \frac{r}{r_w}, \quad \sigma^0 = \frac{\sigma}{\sigma_0}, \quad s^0 = \frac{s}{s_0}, \quad A = \frac{s_0}{\sigma_0 (E r_w)^2}, \quad t = \eta \frac{d\eta}{ds^0} \quad (1.3)$$

Значения нижних индексов: w — стенка, 0 — ось трубы.
В непроводящей области ($s_w^0 \leq s^0 \leq s_d^0$) уравнение (1.1) принимает вид

$$\eta ds^0 / d\eta = - 1 / B \quad (1.4)$$